

**DOS ESPECIES NUEVAS DE *AEGORHINUS*
(COLEOPTERA: CURCULIONIDAE: ATERPINI) DE CHILE¹**

**TWO NEW *AEGORHINUS* SPECIES
(COLEOPTERA: CURCULIONIDAE: ATERPINAЕ) FROM CHILE**

MARIO ELGUETA²

ABSTRACT

Two new *Aegorhinus* species are described: *A. maulinus* n. sp. and *A. bilineatus* n.sp. Based on morphological features the former is associated to *A. servillei* and the latter to *A. albolineatus* - *A. superciliosus* species group. Adults and some other illustrations of internal and external structures are given as complement for recognition. Geographical distribution of *A. delfini* (Germain), an endemic component of the Magellanic forest, is precised.

KEY WORDS: Curculionidae, Aterpini, *Aegorhinus*, new species, geographic distribution, Chile.

INTRODUCCIÓN

La tribu Aterpini es de distribución austral y está representada en América por dos géneros endémicos, *Alastaropolus* Kuschel y *Aegorhinus* Erichson, con un total de 23 especies. Sus parientes más cercanos se encuentran en Australia y Nueva Zelanda. Morrone y Roig-Juñent (2000) efectúan un análisis cladístico de las relaciones entre los componentes americanos, basado en caracteres morfológicos externos. *Aegorhinus* es el género más diversificado, con 22 especies (Cekalovic, 1970; Elgueta, 1974; Kuschel, 1951, 1952; Morrone y Roig-Juñent, 1995, 2000; Wibmer y O'Brien, 1986); tanto a *Aegorhinus subplanifrons* Kuschel y *A. bulbifer* Kuschel se les ha asignado estatus específico (Morrone, 1994), habiendo sido consideradas originalmente como subespecies de *A. schoenherri* (Gay y Solier) y *A. vitulus* (Fabricius), respectivamente; *Micropolus* Kuschel (1952) es considerado (Morrone y Roig-Juñent, 2000) un nombre sinónimo de *Aegorhinus*.

Esta agrupación, integrante de la subfamilia Cyclominae, de acuerdo a Morrone (1997, 1998a-b) y Alonso-Zarazaga y Lyal (1999), incluye las especies de mayor tamaño que se encuentran en áreas boscosas del cono

Sur de América, con un rango de 0,5 a 2,5 cm de longitud. Son tan típicos y evidentes que una de sus especies es conocida desde la segunda mitad del siglo XVIII (Fabricius, 1775), seguramente descrita basada en especímenes recolectados por algún viajero de paso obligado por el Estrecho de Magallanes. Sus representantes se distribuyen aproximadamente desde 33° S en Chile y desde 40° S en la Argentina, hasta 55° 57' S (*Alastaropolus strumuosos* (Olivier): Islas Wollaston y Hornos, en el Parque Nacional Cabo de Hornos), mayoritariamente en áreas con presencia de fagáceas; las especies presentes en Argentina han sido tratadas por Morrone (1998a). Su distribución geográfica se circunscribe a las zonas biogeográficas (sensu Morrone, 1996a-b, 1999; Morrone y Roig-Juñent, 1995) de Chile Central y Subantártica (provincias Santiaguina, del Maule, Valdiviana y del Bosque Magallánico). Es frecuente encontrarlos sobre el fuste de diversos árboles, en zonas con vegetación densa; suben durante el día hacia la fronda para alimentarse del follaje tierno y bajan hacia la parte basal al atardecer, permaneciendo allí. Su desarrollo se efectúa a nivel de cuello y raíces de las plantas hospedadas, nativas o introducidas; en este aspecto los antecedentes biológicos son escasos (Elgueta, 1993; Elgueta y Arriagada, 1989; Kuschel, 1951, 1952).

Recientemente (Alonso-Zarazaga y Lyal, 1999), el nombre *Psuchocephalus*, propuesto para una especie de este grupo, ha sido citado por segunda vez desde su creación por Latreille (1828). Debido a no haber sido

¹ Financiado por el Fondo para la Investigación Patrimonial de la DIBAM, Proyecto FIP'99.

² Sección Entomología, Museo Nacional de Historia Natural, Casilla 787, Santiago - Chile. e mail: melgueta@mnhn.cl

utilizado en las publicaciones posteriores y a pesar de tener prioridad, se está presentando una proposición a la Comisión Internacional de Nomenclatura Zoológica, a fin de que sea suprimido, preservando el nombre *Aegorhinus*, de amplia y continua utilización (Guillermo Kuschel, comunicación personal). Basado en estos antecedentes en este estudio se prefiere mantener este último nombre.

Mi objetivo es describir y nombrar dos nuevas especies del género *Aegorhinus*, encontradas en Chile, contribuyendo así al conocimiento de la biodiversidad presente en el territorio nacional.

MATERIAL Y MÉTODO

Se dispuso de un conjunto de especímenes reunidos mediante recolecciones efectuadas en bosques de pantano de la zona central de Chile, a través de la ejecución de Proyectos FONDECYT 0110/89 y 0186/91. A este material se adicionaron otros ejemplares provenientes de las siguientes colecciones de instituciones (en paréntesis abreviatura utilizada en texto e investigador a cargo de la colección), en las cuales queda depositado el material estudiado:

- Departamento de Zoología, Universidad de Concepción (DZUC, Prof. Viviane Jerez).
- Instituto de Entomología, Universidad Metropolitana de Ciencias de la Educación, Santiago (IEUM, Prof. Jaime Solervicens).
- New Zealand Arthropod Collection, Landcare Research (NZAC, Dr. Guillermo Kuschel).
- Museo de Zoología, Universidad Nacional Autónoma de México (UNAM, Dr. Juan J. Morrone).
- Sección Entomología, Museo Nacional de Historia Natural, Santiago (MNHN).

La descripción de cada entidad se efectúa analizando caracteres utilizados en los estudios de componentes de este grupo y agregando detalles de otras estructuras, especialmente aquellas asociadas al funcionamiento del aparato reproductor, que se considera aportan caracteres de interés, sobre todo en vista a posteriores análisis.

Para la descripción de estructuras morfológicas externas se sigue en general a Kuschel (1951) y Morrone y Roig-Juñent (2000), en la terminología de estructuras internas a Clark (1977) y Lindroth y Palmén (1970), y en la nomenclatura de venación de ala se sigue a Kukulová-Peck y Lawrence (1993). El análisis morfológico se realiza utilizando lupa binocular y el dibujo de estructuras internas mediante cámara

clara incorporada a la misma; la longitud se entiende medida en la línea media.

RESULTADOS

Aegorhinus maulinus n. sp. (Figs. 1-17)

Aegorhinus sp.: Solervicens y Elgueta, 1994: 142, 143.

Diagnosis: Tamaño pequeño a mediano. Longitud total: 7,8-10,6 mm en machos (N = 42); 9,8-13,2 mm en hembras (N = 27); ancho máximo a nivel de élitros de 2,9-3,8 mm en machos, 3,7-5,9 mm en hembras.

Tegumento negro, densamente recubierto de escamas subcirculares de color negro y, en algunas áreas, pardas y blancas; en este último caso regularmente distribuidas en un patrón de manchas características: una ancha banda longitudinal en el costado del pronoto, la cual se prolonga generalmente sobre el área humeral; banda transversal ancha en los élitros, hacia el comienzo del declive y anterior a tubérculos cubriendo casi la mitad de la superficie de éstos; adicionalmente puede presentarse una franja longitudinal en el borde elitral, frente al primer y segundo esternitos abdominales, la cual tiende a unirse anteriormente con la mancha humeral y posteriormente con la franja transversal.

Élitro con tres tubérculos: uno alto y de base alargada ubicado sobre la tercera interestría, posteriormente a la mitad de la longitud de ésta; los otros dos menos elevados se encuentran en línea al comienzo del declive elitral, uno sobre la tercera interestría y el otro sobre la quinta. En muchos casos, especialmente en machos, se presenta un tubérculo adicional o al menos abultamientos, sobre el tercio basal de la tercera y quinta interestrías.

Holotipo macho: Tegumento brillante a opaco, debido a la existencia de microescultura; densamente revestido de escamas agrupadas, especialmente en protórax, élitros y faz ventral, de coloración negra y blanca. Longitud (borde anterior del pronoto a ápice elitral): 8,5 mm; ancho elitral (base): 2,9 mm; ancho máximo (élitros): 3,2 mm.

Cabeza densamente punteada, con los puntos ocultos por escamas; área supraocular con tubérculo cónico, bien desarrollada, de base alargada y estrecha, orientada en forma paralela al eje medial de la cabeza; frente de superficie punteada, al mismo nivel del rostro, estrecha y presentando una depresión alargada en la zona anterior; rostro alargado con superficie dorsal irregular, especialmente en su

mitad basal, debido a la presencia de puntos profundos y desordenados, con carina medial y lateral poco notorias, en vista lateral deprimido basalmente; epistoma cóncavo con punteado menos denso, de aspecto más brillante; postmentón proyectado ventralmente, con carina y setas apicales; prementón sin setas; surco postocular estrecho y poco profundo; surco supraescrobal poco diferenciado.

Escapo delgado en su mitad basal y más grueso distalmente, en posición de reposo apenas sobrepasa el borde anterior del ojo; funículo con segmentos 1º y 2º delgados, 1º levemente más largo que el 2º, 3º al 5º subiguales, 6º de menor longitud que anteriores, 7º contiguo a la clava y de similar longitud que el 3º, pero más grueso.

Protórax en vista dorsal más largo que ancho, subcilíndrico; zona anterior poco más ancha que la posterior; tubérculos del borde anterior desarrollados, alargados y similares en aspecto a un tercer tubérculo, desprovisto de escamas y ubicado medialmente en el tercio anterior; superficie con punteado denso, fino y grueso, dándole un aspecto irregular.

Costados casi por completo recubiertos de escamas blancas, abarcando un área más ancha que la zona dorso-medial; esta última presenta sólo escamas negras.

Escutelo algo aplanado en su dorso y más elevado que la sutura elitral. Élitro con zona humeral callosa y parcialmente recubierta de escamas blancas; en vista dorsal borde lateral casi recto, estrías con puntos grandes y profundos, especialmente en el dorso donde se produce incluso fusión de puntos de estrías contiguas; en el tercio anterior presenta un diminuto tubérculo en la tercera interestría y otro de mayor elevación en la quinta, este último con zona posterior levemente costiforme; tercera interestría, a la altura del segundo esternito, con un gran tubérculo cónico y de base alargada; posteriormente, al inicio del declive elitral, se presentan tubérculos cónicos más pequeños que el dorsal, tanto sobre la tercera como la quinta interestría; área entre el tubérculo dorsal y los posteriores densamente recubierta de escamas blancas, abarcando prácticamente todo el ancho del élitro, excepto el área sutural, e inclusive la parte anterior de los tubérculos preapicales; ápice elitral aguzado y proyectado en la zona sutural; en vista lateral con escamas blancas agrupadas formando una faja desde el tubérculo externo posterior al borde del élitro y desde ahí hasta la faja transversa, ubicada entre tubérculos posteriores, tendiendo a unirse con ella; zona del declive elitral con agrupaciones de escamas blancas, conformando manchas pequeñas e irregulares.

Superficie ventral con recubrimiento denso de escamas blancas y negras, las primeras en mayor densidad en prosterno, procoxas, línea media y costados del mesoesterno y primer y segundo esternitos abdominales. Patas con escamas blancas dispersas sólo en base de tibias y fémur posterior.

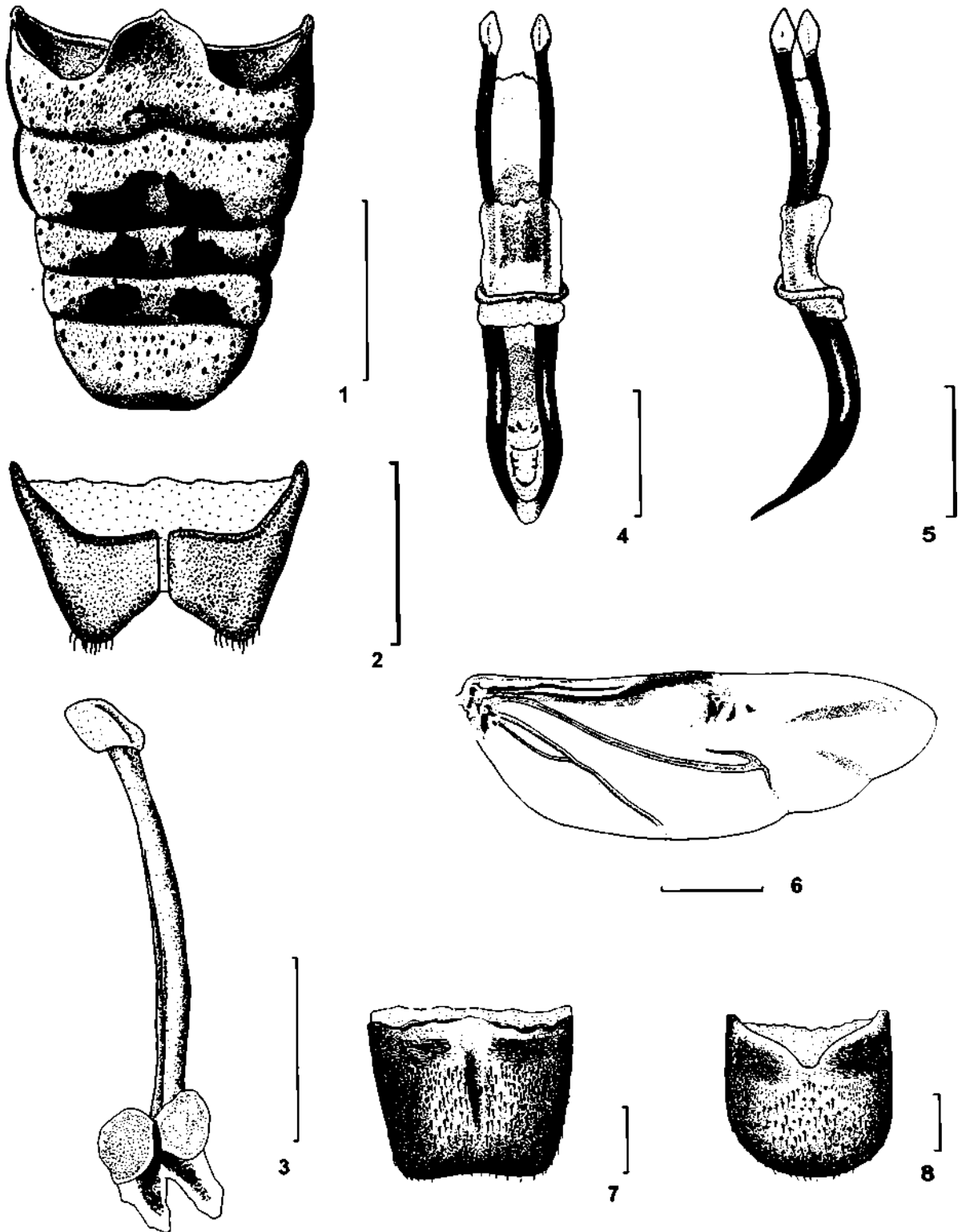
Esternitos abdominales (Fig. 1) densamente recubiertos por escamas subcirculares a ovaladas, mayoritariamente blancas; sólo se presentan escamas de coloración pardo oscura a negruzca, formando manchas irregulares, a los lados de la línea media del segundo (en su mitad posterior), tercero y cuarto esternitos; superficie con puntos profundos y dispersos y densa microescultura poco notoria debido a la escamación; primer esternito con porción intercoxal ancha, borde anterior con forma de hemicírculo y borde posterior notoriamente escotado en la zona media; segundo esternito con longitud algo mayor a la de los dos siguientes en conjunto; quinto esternito más de dos veces más ancho en su base que su longitud.

Esternito octavo (Fig. 2) con láminas de forma subrectangular en sentido transversal, de borde anterior externo alargado y aguzado; ápice distal con pilosidad corta, pardo rojiza.

Spiculum gastrale (esternito 9, Fig. 3); extremo anterior con notoria proyección laminar, subcircular; zona predistal con proyecciones laterales, laminares y subovaladas.

Edeago (Figs. 4-5) con apodemas laterobasales tan largos como el lóbulo mediano y con extremo espatuliforme; tegmen con parámetros reducidos a una pequeña proyección medial y con apodema ventral cerca de 0,4 veces la longitud del edeago; lóbulo mediano de ápice aguzado y con bordes laterales fuertemente esclerosados, *ostium* ubicado al inicio del tercio apical, costados a partir del *ostium* uniformemente convergentes, en vista lateral curvado en arco.

Ala metatorácica (Fig. 6) más larga que la longitud corporal; venas RA fusionadas, engrosando hacia la mitad del borde anterior y curvándose hacia atrás y hacia la base, conformando un hemicírculo; RP notoria al término donde se fusiona con MP 1+2, de ahí curvándose hacia el borde del ala, siendo en esta extensión poco notoria; CuA y CuP notorias, la última uniéndose a la primera hacia la mitad de la longitud de ésta, formando así una celda; campo apical con dos manchas alargadas de pigmentación más densa, ubicadas distalmente cerca del borde del ala y que podrían corresponder a remanente de ramas radiales, y basalmente con dos escleritos próximos al sector de la celda radial.



Figuras 1-8: *Aegorhinus maulinus* n. sp., macho. 1: Esternitos abdominales, vista ventral; 2: esternito 8, vista ventral; 3: *spiculum gastrale*, vista dorsal; 4: edeago, vista dorsal; 5: edeago, vista lateral; 6: ala metatorácica; 7: tergito 7, vista dorsal; 8: tergito 8, vista dorsal (Escala: 1 y 6 = 2 mm; 2, 7 y 8 = 0,5 mm; 3, 4 y 5 = 1 mm).

Tergito 7 (Fig. 7) con línea media sin pilosidad, al menos basalmente, y con microescultura; basal y lateralmente con área subcircular que presenta microescultura algo transversa y sin pilosidad; resto de la superficie con puntos poco profundos y pilosidad apegada a la superficie. Tergito 8 (Fig. 8) con tercio basal presentando microescultura fina y reticulada, desprovisto de pilosidad y puntos; resto de la superficie con puntos profundos y pilosidad apegada al tegumento, excepto el borde posterior que presenta algunos pelos más erectos.

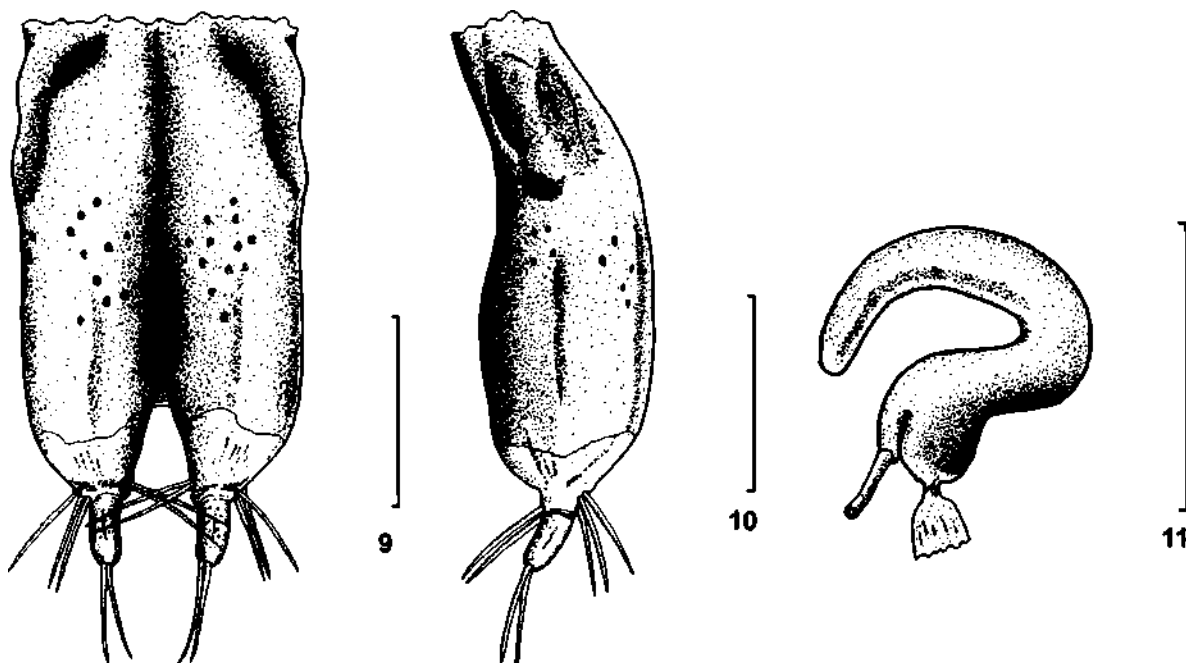
Hembra: Ovipositor con hemiesternitos (Figs. 9-10) de forma ovalada en vista lateral, contiguos ventralmente y separados dorsalmente; ápice cóncavo transversalmente, con un par de largas setas en su extremo externo e interno y otra seta adicional en posición ventrolateral; cerco más de 5 veces más largo que su diámetro y con dos setas en su extremo y de mayor longitud que éste. Espermateca (Fig. 11) con forma de hoz; *ramus* y *collum* contiguos y proyectados paralelamente.

Variabilidad: Aproximadamente en la mitad de los ejemplares los tubérculos del tercio anterior del élitro pueden presentarse sólo como protuberancias o

pequeños abultamientos. En cuanto al patrón de coloración, tanto en machos como en hembras, las escamas blancas pueden llegar a cubrir completamente todo el costado del pronoto y en el élitro su tercio látero-basal, además del área posterior a los tubérculos medios (Figs. 12-17). En algunos ejemplares los esternitos abdominales 1 y 2 pueden llegar a estar cubiertos casi por completo por escamas blancas.

Etimología: Nombre referido al área geográfica, Maule, en la cual esta especie se distribuye principalmente.

Material tipo: Todos los ejemplares con etiquetas impresas, excepto como se indica (mm = machos, hh = hembras, el signo «/» separa líneas dentro de una misma etiqueta). HOLOTIPO macho sin disectar [CHILE - TALCA/Canelillo (E Carrizal)/ 3 Noviembre 1991/M. Elgueta leg.] [Myrtaceae sp./35° 24' S/72° 17' W] (MNHN). PARATIPOS: 1 macho y 1 hembra [CHILE - TALCA/La Vega, Agua Buena/(E Carrizal) 3 Noviembre/1991 M. Elgueta leg.] [Myrtaceae sp./35° 17' S/72° 09' W] (MNHN); 2 mm y 1 hembra [Chile - Talca/Las Vegas, Agua Buena/3-11-91/J. Solervi-cens] (1 par en IEUM y 1 macho en DZUC); 1 macho



Figuras 9-11: *Aegorhinus maulinus* n. sp., hembra, 9: hemiesternitos del ovipositor, vista ventral; 10: hemiesternito del ovipositor, vista lateral; 11: espermateca (Escala = 0,5 mm).



12



13



14



15



16



17

Figuras 12-17: Variabilidad del patrón de manchas en el dorso de *Aegorhinus maulinus* n. sp., 12-13: Machos; 14-17: Hembras.

y 2 hh con iguales datos que el Holotipo (MNHN); 2 mm y 2 hh [Chile - Talca/Canelillo/E Carrizal/3-11-91/J. Solervicens] (1 par en IEUM, 1 macho en UNAM, 1 hembra en DZUC); 1 hembra [Chile - Talca/Qda. Niní, F. Celco/30-11-89/J. Solervicens] (IEUM); 1 macho y 1 hembra [Chile - Talca/La Puente, F. Celco/1-12-89/J. Solervicens] (IEUM); 2 mm y 1 hembra

[CHILE - TALCA/Rari (SW Empedrado)/4 Noviembre 1991 /M. Elgueta leg.] [Myrtaceae sp./35° 38' S/ 72° 24' W] (MNHN); 2 mm y 1 hembra [Chile - Talca/ Chanco/Rari camino Empedrado/4-11-91/J. Solervicens] (1 par en IEUM y 1 macho en NZAC); 1 macho y 1 hembra [Chile - Cauquenes/5 km Reserva Los Ruiles/2.xii.89/J. Solervicens] (IEUM); 1 macho [CHI-

LE - CAUQUENES/Reserva Nacional Los Ruiles/6 Nov. 1991 follaje *Nothofagus/alessandrii* M. Elgueta leg.] (MNHN); 1 macho [CHILE - CAUQUENES/Pelluhue 31 Julio 1985/En follaje de *Nothofagus/glaucica* F. Silva leg.] (MNHN); 1 hembra [CHILE - CAUQUENES/10 km S Pelluhue sobre/Myrtaceae sp. Sept. 1979/M. Béeche leg.] (MNHN); 2 mm [CHILE - CAUQUENES/Canelillo (E Chovellén)/5 Noviembre 1991/M. Elgueta leg.] [Myrtaceae sp./35° 50' S/72° 32' W] (MNHN); 1 macho y 1 hembra [Chile - Cauquenes/Canelillos/Chovellén/5-11-91/J. Solervicens] (IEUM); 1 macho y 3 hh [Chile - Ñuble/Fdo. El Guanaco/Quirihue/3-12-89/J. Solervicens - A. Henry] (1 macho en IEUM, 1 hembra en MNHN, 1 hembra en UNAM y otra en NZAC); 1 macho con etiqueta manuscrita [Escuadrón/ 1-Nov.-1967/Cekalovic coll.] (MNHN).

Material adicional examinado: De norte a sur, por provincias actuales (mm = machos, hh = hembras). TALCA: 3 mm y 1 hembra, La Vega, Agua Buena (E Carrizal), 3 Noviembre 1991, J. Solervicens y M. Elgueta; 1 macho y 1 hembra, Canelillos (E Carrizal), 3 Noviembre 1991, J. Solervicens y M. Elgueta; 1 macho y 1 hembra, La Puente For. Celco, 1-12-89, J. Solervicens y A. Henry; 4 mm, Constitución, Fundo El Rosal, 1/29.12.1994; 2 mm y 1 hembra, Rari (SW Empedrado), 4 Noviembre 1991, J. Solervicens y M. Elgueta. CAUQUENES: 3 mm y 1 hembra, 5 km E Reserva Forestal Los Ruiles, 2-XII-89, J. Solervicens y A. Henry; 1 macho y 1 hembra, Reserva Nacional Los Ruiles, El Corte, Enero 1985, R. Cumplido; 1 macho, Los Ruiles, 6-11-91, J. Solervicens; 5 mm, Canelillos (E Chovellén), 5 Noviembre 1991, J. Solervicens y M. Elgueta. ÑUBLE: 4 mm y 1 hembra, Fdo. El Guanaco, Quirihue, 3-12-89, J. Solervicens y A. Henry; 1 macho, Chillán, Febrero 1985; 1 macho, Los Lleuques, 17.1.1994, S. Roitman. CONCEPCIÓN: 1 macho y 1 hembra, Sta. Juana km 30, 5-12-89, J. Solervicens. ARAUCO: 1 hembra, San José de Colico, 14-12-91, J. Solervicens. CHILE: 2 hh sin datos de recolecta. Ejemplares depositados en IEUM y MNHN.

Comentarios

Los representantes de esta especie se distribuyen en Chile, aproximadamente entre los 35° 10' S y 37° 30' S. Los adultos han sido encontrados mayoritariamente asociados a mirtáceas, en ambientes de bosque de pantano. Se trata de una especie relativamente constante y abundante en esta formación vegetal, constituyendo uno

de los casos de endemismo de la zona del Maule (Solervicens y Elgueta, 1994), área conocida como distrito biogeográfico de Maule (Morrone y Roig-Juñent, 1995) o Provincia del Maule (Morrone, 1999).

Las características del estado adulto, tanto por morfología externa como por aspectos de su estructura genital, permiten asociarla con *Aegorhinus servillei* (véase en Kuschel [1951] esquema del lóbulo mediano de esta especie), presente en parte del extremo sur de su distribución. Lo más seguro es que un análisis filogenético que incluya caracteres morfológicos internos muestre una estrecha relación entre ellas, tal como se evidencia de su comparación morfológica externa.

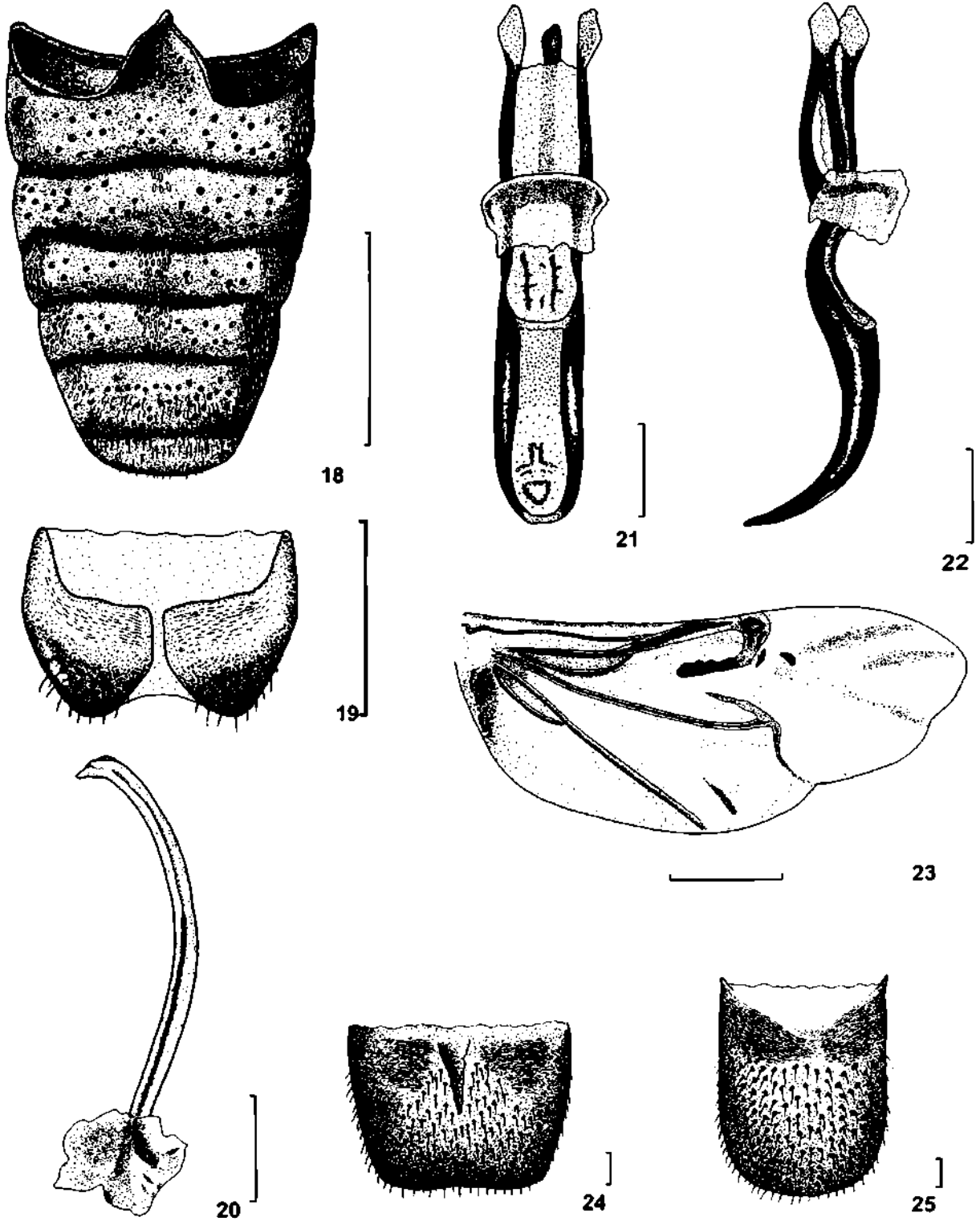
Aegorhinus bilineatus n. sp.

(Figs. 18-32)

Diagnosis: Tamaño mediano a grande. Longitud total (borde anterior del pronoto a ápice elitral) de 17 mm en el macho y de 21 mm en la hembra; ancho máximo a nivel de élitros de 6 mm en el macho y de 8,5 mm en la hembra. Tegumento negro; élitro con recubrimiento denso de escamas lanceoladas de coloración negra y, en mucho menor cantidad, blancas; las escamas se presentan en forma menos densa en el pronoto, quedando una zona anterior medial libre de ellas. Las escamas blancas se agrupan conformando un patrón de manchas: una banda longitudinal, estrecha y poco densa en los bordes del pronoto; línea longitudinal en la zona de la sutura elitral desde la base hasta un tercio de su longitud, adelgazándose hacia atrás; una ancha banda lateral que abarca desde la zona humeral hasta un tercio de la longitud del élitro, curvándose y dirigiéndose hacia la sutura, sin llegar a alcanzarla; una banda longitudinal en borde de élitro que abarca desde la altura de la metacoxa hasta cerca del ápice; una estrecha banda transversal ubicada anteriormente al tubérculo preapical y otra curvada, menos definida, en la zona del declive elitral.

Élitro con un tubérculo poco pronunciado, comparativamente al que presenta por ejemplo *A. vitulus*, ubicado en el término de la quinta interestría, en forma de un cono romo en el macho y de base muy alargada en la hembra.

Holotipo macho: Tegumento en general opaco, debido a la presencia de microescultura fina; revestimiento de escamas negras y blancas más densa en élitros que en pronoto y resto del cuerpo. Longitud (borde anterior del pronoto a ápice elitral): 16,3 mm; ancho elitral máximo: 6 mm.



Figuras 18-25: *Aegorhinus bilineatus* n. sp., macho, 18: esternitos abdominales, vista ventral; 19: esternito 8, vista ventral; 20: *spiculum gastrale*, vista dorsal; 21: edeago, vista dorsal; 22: edeago, vista lateral; 23: ala metatorácica; 24: tergito 7, vista dorsal; 25: tergito 8, vista dorsal (Escala: 18 y 23 = 2 mm; 19, 24 y 25 = 0,5 mm; 20, 21 y 22 = 1 mm).

Cabeza densamente punteada y con escamas en regular cantidad; superficie entre los puntos con microescultura; área supraocular con cresta; frente punteada y algo aplanada, a un nivel levemente inferior a la base del rostro; con área medial y anterior desprovista de puntos; rostro con superficie dorsal irregular debido a la presencia de puntuación densa, carina lateral poco notoria, carina medial más evidente en su extremo apical y ahí costiforme; en vista lateral, rostro recto en su dorso; epistoma levemente cóncavo, con punteado fino y microescultura; postmentón cóncavo, sólo con pequeñas setas a los costados, en posición basal; prementón sin setas; surco post ocular estrecho, más profundo dorsal y posteriormente, en esta última zona con pelos escamiformes. Escapo engrosando gradualmente hacia el ápice, con diámetro basal a distal como 1:2; segmentos 1 a 7 del funículo de similar grosor y de longitud como 4:3:2,75:2:2,5:1,75:2, segmento 7 muy cercano a la clava.

Protórax con puntuación densa y microescultura, de aspecto opaco, dorsalmente más largo que ancho, de similar ancho en base y ápice; tubérculos pronotales relativamente bajos, realizados por la presencia de abundante pilosidad; medialmente presenta un área alargada, microesculpida y desprovista de puntuación; en posición central entre línea media y costados se encuentran escamas blancas agrupadas, conformando una estrecha banda longitudinal, interrumpida en el tercio anterior.

Escutelo alargado y sobresaliente respecto a la sutura elital. Élitro con zona humeral prominente, algo aguzada, parcialmente recubierta de escamas blancas; en vista dorsal bordes laterales subrectos, estrías con puntos grandes, profundos y separados; tubérculo preapical poco desarrollado, alargado y redondeado, similar en aspecto al de *A. albolineatus* (Blanchard); toda su superficie recubierta de escamas ovaladas a lanceoladas y mayoritariamente negras; con patrón de agrupaciones de escamas blancas formando bandas en: primera interestría hasta cerca de la mitad de su longitud, estrechándose desde la base; desde el callo humeral proyectándose hacia abajo, atrás y hacia arriba, dorsalmente, hasta la segunda interestría; transversalmente en la zona anterior al tubérculo preapical; en el declive elital y con forma de techo; en el borde de élitro, desde la altura de la metacoxa hasta el término de la tercera interestría.

Superficie ventral con recubrimiento de escamas mayoritariamente negras, en regular densidad dejando ver parte del tegumento, con punteado grueso y fino y la superficie entre ellos con microescultura; las escamas blancas se agrupan en bandas longitudi-

nales, especialmente en los costados y línea media de algunos esternitos abdominales, especialmente en tercero y cuarto. Patas con escamas blancas, dispersas y en baja densidad.

Esternitos abdominales (Fig. 18) medianamente recubiertos de escamas ovaladas a sublanceoladas, mayoritariamente de coloración negruzca, que dejan ver una fracción importante de su superficie, la cual presenta puntos profundos y microescultura densa lo que le da un aspecto opaco; escamas blancas se encuentran agrupadas en línea media de esternitos 1 a 4, siendo mucho más notorias en el tercero y cuarto en donde forman una banda medial; también se presentan agrupadas en bordes laterales de esternitos 1 a 5, en forma más densa en el primero y, especialmente, en el tercero, cuarto y quinto donde forman bandas longitudinales; esternito 1 con porción intercoxal subtriangular, anteriormente de ápice agudo; segundo equivalente en longitud a 3 y 4 en conjunto; quinto con depresión mediana transversal, 1,5 veces más ancho en su base que largo y con pilosidad negra, larga y subrecta, más abundante a los costados de la línea media.

Esternito octavo (Fig. 19) con láminas de aspecto subovalado, más largas que anchas, medial y basalmente con estrías transversales y con puntos grandes en área lateral y apical, además de pilosidad subrecta más gruesa hacia el ápice.

Spiculum gastrale (Fig. 20), de extremo anterior redondeado y levemente engrosado; extremo distal con ramas notoriamente esclerosadas, divergentes y ensanchadas hacia el ápice, contrastando con la mayor transparencia de las proyecciones laminares.

Edeago (Figs. 21-22) con apodemas laterobasales de extremo notoriamente espatuliforme y curvado externamente; tegmen con parámetros reducidos a pequeña proyección aguda en posición lateral, y con apodema ventral cerca de 1/3 la longitud del edeago; lóbulo mediano con área lateral fuertemente esclerosada y bordes convergentes hacia el ápice, el cual es escotado, área dorsal pigmentada aunque algo menos que bordes; *ostium* ubicado al inicio del tercio apical, en vista lateral con curvatura en arco, algo más que la especie precedente.

Ala metatorácica (Fig. 23) con pilosidad corta negruzca, lo que le da aspecto ahumado, levemente más corta que la longitud corporal; venas RA fusionadas alcanzando cerca de los 2/3 de la longitud del ala, engrosando y curvándose hacia abajo y hacia la base, conformando un semióvalo, de borde posterior más esclerosado y oscuro; RP notoria al término donde se fusiona a MP1+2 y desde ahí proyectándose en

curva, poco marcada, hacia el borde del ala; CuA y CuP notorias, la última uniéndose débilmente a la primera hacia el tercio de la longitud de ésta, conformando una celda; campo apical con 3 ramas radiales poco evidenciadas, la central más corta, y dos escleritos, el más basal muy cercano al sector de la celda radial; campo medial con esbozo de vena (posiblemente MP4) en el borde, más cercana a CuA que a MP1+2; campo anal con área basal más negruzca.

Tergito 7 (Fig. 24) negro, bien esclerosado, con puntuación densa provista de pilosidad apegada al tegumento; una pequeña área medial, alargada y triangular, y otra subcircular, basal y en posición dorso-lateral, presentan microescultura y están prácticamente desprovistas de pilosidad. Tergito 8 (Fig. 25) aproximadamente 1,25 veces más largo que ancho, de color negro, muy esclerosado, con puntuación densa, profunda, y con pilosidad subrecta; cuarto basal sin esa puntuación y pilosidad.

Hembra: Ovopositor con hemiesternitos (Figs. 26-27) de forma subrectangular, en vista lateral, con puntuación irregular y de borde posterior trunco; presenta numerosas setas en el borde y otras en posición anterior; cerco de forma subsférica y con siete setas de longitud equivalente a éste, visibles simultáneamente

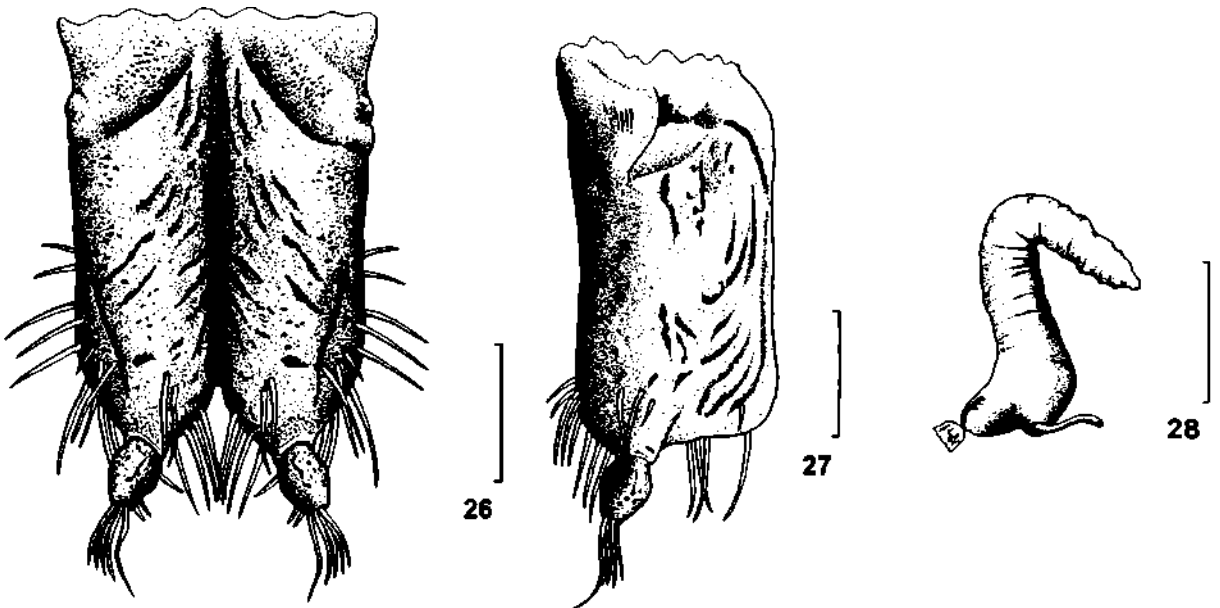
sólo en vista posterior. Espermateca (Fig. 28) de forma angulada, de aspecto anillado y con bordes algo irregulares; *ramus* y *collum* separados y divergentes.

Etimología: El nombre se relaciona con la presencia del par de bandas laterales en el pronoto, conformadas por escamas blancas.

Material tipo: HOLOTIPO macho de [CHILE ÑUBLE/Laguna de la Plata/E San Fabián de Alico/Diciembre 1967]. PARATIPO: una hembra (ejemplar encontrado muerto, con ataque de dermestido y sin algunos apéndices) de [CHILE ÑUBLE/Fundo Bulileo (sendero a/Laguna de la Plata) 10 Enero/1979 A. Camousseight leg.]. Ambos ejemplares depositados en MNHN, con genitalia y estructuras asociadas montadas en tarjetas y, además, en el macho, ala mesotorácica.

Material examinado: Sólo el material tipo.

Comentarios: Los dos ejemplares conocidos (Figs. 29-32) han sido recolectados en un ambiente del tipo bosque caducifolio, con mezcla de *Nothofagus dombeysi*, en la misma área precordillerana de la Octava Región (Provincia de Ñuble), aproximadamente a 36°

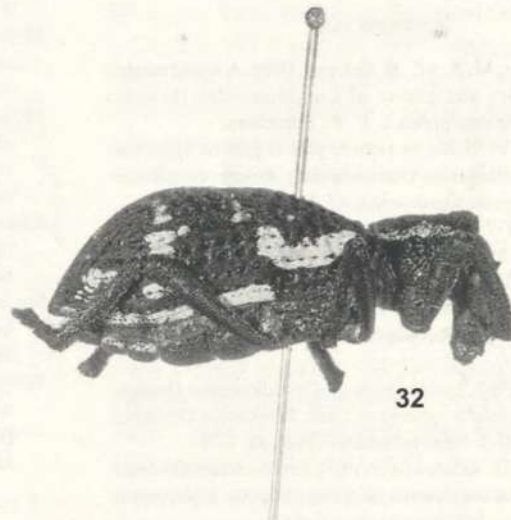
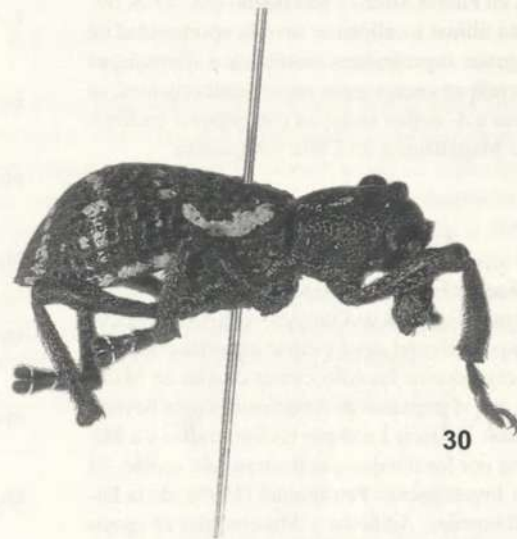


Figuras 26-28: *Aegorhinus bilineatus* n. sp., hembra, 26: hemiesternitos del ovopositor, vista ventral; 27: hemiesternitos del ovopositor, vista lateral; 28: espermateca (Escala = 0,5 mm).

34' S y 71° 26' W. Esta especie se relaciona con *A. albolineatus*, considerando su forma corporal aovada, puntuación elitral y tipo de bandas escamiformes; en cuanto a tipo de lóbulo mediano del edeago y basado en los esquemas de Kuschel (1951), se acerca a *A. phaleratus* Erichson y *A. superciliosus* (Guérin-Méneville). Todas estas especies se encuentran incluidas en un mismo grupo, de acuerdo con el análisis cladístico de Morrone y Roig-Juñent (2000).

NOTA SOBRE LA DISTRIBUCIÓN DE *AEGORHINUS DELFINI* (GERMAIN)

Germain (1893) describe a *Lophotus delfini*, basado en un ejemplar macho "... encontrado en la Isla Quiriquina,...". Kuschel (1951, como *Aegorhinus*) repite la cita de localidad a base de tres ejemplares que "... parecen acusar una misma procedencia...", posteriormente (1952, como *Micropolus*) cita a esta especie como de Isla Quiriquina (Provincia de Concepción) y de Punta Arenas (Provincia de



Figuras 29-32: *Aegorhinus bilineatus* n. sp., 29-30: macho, vista dorsal y lateral; 31-32: hembra, vista dorsal y lateral.

Magallanes). Basados en estos antecedentes, trabajos posteriores (Morrone, 1996a-b, 1998b; Morrone y Roig-Juñent, 1995, 2000) la siguen adscribiendo a la región biogeográfica del Maule, además de Magallanes.

Respecto a la presencia de esta especie en la Isla Quiriquina (36° 38' S, 73° 04' W) cabe señalar que es errónea, ya que en ella se presenta una vegetación muy distinta de la que se encuentra en la zona magallánica. Todos los ejemplares revisados por el autor provienen del extremo sur de Chile, específicamente de la Duodécima Región, en un área comprendida aproximadamente entre los 53° a 55° S, con registros de recolectas para Isla Picton (Caleta Piedras), Isla Navarino (Puerto Toro), Punta Arenas y para Tierra del Fuego, en Puerto Arturo y Río Bueno (53° 45' S, 69° 57' W). En esta última localidad se tuvo la oportunidad de recolectar algunos especímenes asociados a *Nothofagus pumilio*. Teniendo en cuenta estos nuevos antecedentes, se debe considerar a *A. delfini* como un componente endémico del Bosque Magallánico, en Chile y Argentina.

AGRADECIMIENTOS

A Guillermo Kuschel (Landcare Research, Nueva Zelanda) y Juan J. Morrone (Facultad de Ciencias - UNAM, México) por poner a disposición del autor valioso material comparativo. A los encargados de las colecciones citadas en Material y Método, por el préstamo de especímenes para llevar a cabo este estudio. A Oscar León por las fotografías y a Miguel Palavicino por los dibujos que ilustran este aporte. Al Fondo para la Investigación Patrimonial (1999), de la Dirección de Bibliotecas, Archivos y Museos, por el apoyo económico que permitió llevar a cabo este estudio.

REFERENCIAS

- ALONSO-ZARAZAGA, M. A. y C. H. C. LYAL. 1999. A world catalogue of families and genera of Curculionoidea (Insecta: Coleoptera). Entomopraxis S. C. P., Barcelona.
- CEKALOVIC K., T. 1970. Nueva especie para el género *Aegorhinus* Erichson Coleoptera - Curculionidae). Boletín de la Sociedad de Biología de Concepción, 42: 55-57.
- CLARK, W. E. 1977. Male genitalia of some Curculionoidea (Coleoptera): Musculature and discussion of function. The Coleopterists Bulletin, 31(2): 101-115.
- ELGUETA D., M. 1974. Una nueva especie de Aterpinae (Coleoptera, Curculionidae). Revista Chilena de Entomología, 8: 133-134.
- ELGUETA D., M. 1993. Las especies de Curculionoidea (Insecta: Coleoptera) de interés agrícola en Chile. Publicación Ocasional, Museo Nacional de Historia Natural (Chile), 48: 1-79.
- ELGUETA D., M. y G. ARRIAGADA S. 1989. Estado actual del conocimiento de los coleópteros de Chile (Insecto: Coleoptera). Revista Chilena de Entomología, 17: 5-60.
- FABRICIUS, J. C. 1775. Systema Entomologiae, sistens insectorum classes, ordines, genera, species, adiectis synonymis, locis, descriptionibus, observationibus. Libraria Kortii, Flensburgi et Lipsiae.
- GERMAIN, P. 1893. Apuntes sobre los insectos de Chile. Anales de la Universidad de Chile, 84: 1031-1039.
- KUKALOVA-PECK, J. y J. F. LAWRENCE. 1993. Evolution of the hind wing in Coleoptera. The Canadian Entomologist, 125(2): 181-258.
- KUSCHEL, G. 1951. La subfamilia Aterpinae en América (Ap. 12 de Coleoptera Curculionidae). Revista Chilena de Entomología, 7: 205-245.
- KUSCHEL, G. 1952. Los Curculionidae de la cordillera chileno-argentina (1ª parte) (Aporte 13 de Coleoptera Curculionidae). Revista Chilena de Entomología, 2: 229-279.
- LATREILLE, P. A. 1828. Rhynchophores ou Port-bec. In: B. de Saint-Vicent (ed.), Dictionnaire Classique d'Histoire Naturelle, 14: 584-603. Rey et Gravier & Baudouin Frères, Paris.
- LINDROTH, C. H. y E. PALMÉN. 1970. 16. Coleoptera. In: S. L. Tuxen (ed.), Taxonomist's glossary of genitalia in insects, 2nd edition, pp. 80-88. Munksgaard, Copenhagen.
- MORRONE, J. J. 1994. Nomenclatural changes in Patagonian Belidae and Curculionidae (Coleoptera: Curculionoidea). Neotrópica, 40: 95.
- MORRONE, J. J. 1996a. Distributional patterns of the South American Aterpini (Coleoptera: Curculionidae). Revista de la Sociedad Entomológica Argentina, 55(1-4): 131-141.
- MORRONE, J. J. 1996b. The biogeographical Andean subregion: A proposal exemplified by arthropod taxa (Arachnida, Crustacea, and Hexapoda). Neotrópica, 42(107-108): 103-114.
- MORRONE, J. J. 1997. Nomenclatural notes on the subfamily Cyclominae (Coleoptera: Curculionidae). Acta Entomológica Chilena, 21: 101-102.
- MORRONE, J. J. 1998a. On the Argentinean species of *Aegorhinus* (Coleoptera: Curculionidae). Revista de la Sociedad Entomológica Argentina, 57(1-4): 114.
- MORRONE, J. J. 1998b. Sinopsis genérica de las Cyclominae argentinas (Coleoptera: Curculionidae). Neotrópica, 44(111-112): 13-22.
- MORRONE, J. J. 1999. Presentación preliminar de un nuevo esquema biogeográfico de América del Sur. Biogeographica, 75(1): 1-16.
- MORRONE, J. J. y S. ROIG-JUÑENT. 1995. The diversity of Patagonian weevils: An illustrated checklist of the Patagonian Curculionoidea (Insecta: Coleoptera). Ediciones L.O.L.A., Buenos Aires, 189 pp.
- MORRONE, J. J. y S. ROIG-JUÑENT. 2000. Synopsis and cladistics of the American Aterpini (Coleoptera: Curculionidae, Cyclominae). Entomologica Scandinavica, 30: 417-434.
- SOLERVICENS, J. y M. ELGUETA. 1994. Insectos de follaje de bosques pantanosos del Norte Chico, centro y sur de Chile. Revista Chilena de Entomología, 21: 135-164.
- WIBMER, G. J. y C. W. O'BRIEN. 1986. Annotated checklist of the weevils (Curculionidae sensu lato) of South America (Coleoptera: Curculionoidea). Memoirs of the American Entomological Institute, 39: i-xvi, 1-563.